

Член-корреспондент АН СССР Л. Д. БАХРАХ, А. П. КУРОЧКИН,  
Д. А. ДМИТРЕНКО, Н. М. ЦЕЙТЛИН, Дж. С. АРУТЮНЯН

ОБ ОПРЕДЕЛЕНИИ ДИАГРАММЫ НАПРАВЛЕННОСТИ  
ПРИЕМНОЙ АНТЕННЫ ПО ИСТОЧНИКУ В ЗОНЕ ФРЕНЕЛЯ  
С ИСПОЛЬЗОВАНИЕМ ГОЛОГРАФИИ И ОПТИЧЕСКОЙ ОБРАБОТКИ

В (1) был предложен метод восстановления диаграммы направленности антенны по результатам измерения поля в зоне Френеля с использованием оптической обработки и голограммии. Сущность метода состоит в записи на фотопленке с.в.ч. голограммы, т. е. распределения интенсивности поля излучения исследуемой антенны и поля опорного источника, последующего восстановления по этой голограмме «изображения» излучающего раскрыва антенны с помощью когерентной оптики и, наконец, получения диаграммы направленности в дальней зоне путем двумерного Фурье-преобразования полученного изображения с помощью системы линз. Этот метод был проверен экспериментально на небольшой передающей линейной антенне трехсанитметрового диапазона (1). С.в.ч. голограмма измерялась зондом, который перемещался по окружности, охватывающей антенну. Естественно, что подобный же (с соответствующими модификациями) метод применим и к приемным антеннам, в частности, радиоастрономическим, где проблема измерения диаграммы направленности по источникам излучения, расположенным в ближней зоне, также весьма актуальна. Очевидная модификация метода состоит в том, что создающие голограмму исследуемый и референтный сигналы излучаются расположенным на некотором расстоянии от антенны источником и принимаются соответственно на исследуемую и опорную антены.

Рис. 1. Схема измерения голограммы поля антенны. 1 — испытуемая антenna, 2 — приемная антenna канала опорного сигнала, 3 — излучатель, 4 — генератор, 5 — приемник, 6 — направленный ответвитель, 7 — фазовращатель, 8 — аттенюатор, 9 — гибкий кабель

С целью выяснения возможностей, особенностей и точности указанного метода применительно к исследованию больших приемных антенн в апреле 1970 г. были проведены измерения диаграмм направленности семиметровой параболической кассегреновской антенны радиотелескопа на волне 10 см.

Схема измерений представлена на рис. 1. Излучатель 3 был установлен на двадцатипятиметровой вышке на расстоянии 100 м от исследуемой антенны 1 (т. е. в 10 раз ближе условной границы дальней зоны  $2D^2/\lambda$ ), референтный сигнал принимался на рупор 2, установленный рядом с антенной. Голограмма на с.в.ч. формировалась путем суммирования в антенном тракте и затем детектирования сигнала, принимаемого антенной, и референтного сигнала. Голограмма измерялась при неподвижном источнике излучения посредством сканирования исследуемой антенны по углу места и азимуту в секторе  $\pm 5^\circ$  по обоим углам относительно направления максимума излучения. Необходимый для устранения влияния опорной

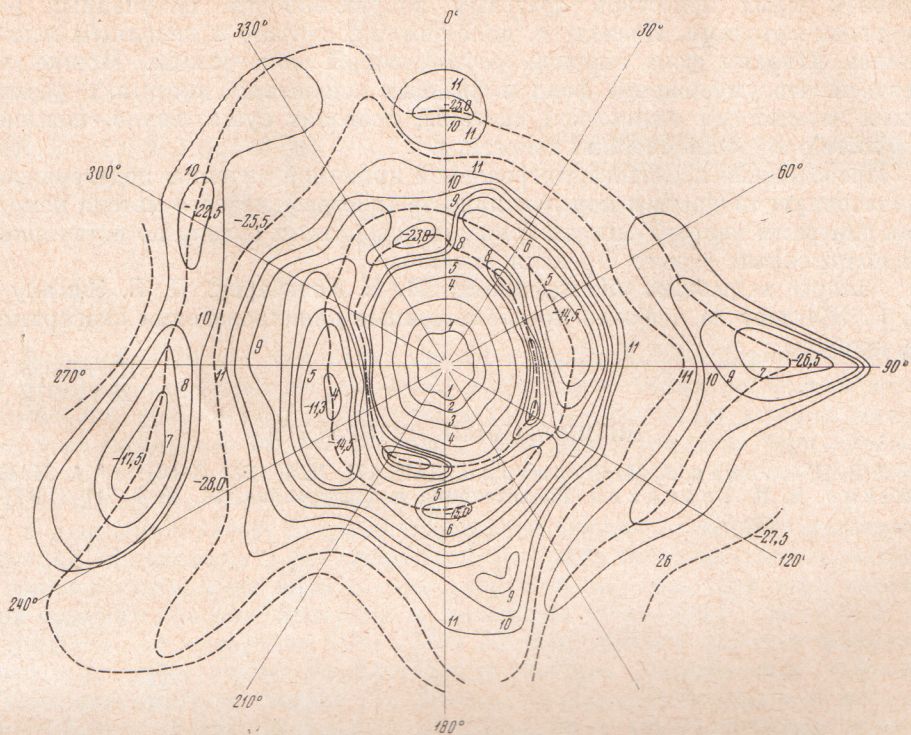


Рис. 2. Линии равных уровней пространственной диаграммы направленности:  $-1,5$  дБ (1);  $-3$  (2);  $-6$  (3);  $-12$  (4);  $-15$  (5);  $-16,5$  (6);  $-18$  (7);  $-19,5$  (8);  $-21$  (9);  $-22,5$  (10);  $-24$  дБ (11). Пунктирными линиями обозначены контуры минимумов и максимумов боковых лепестков. Цифры около пунктирных линий обозначают относительный уровень мощности в децибеллах

составляющей и мнимого изображения при реконструкции голограммы линейный фазовый сдвиг между сигналом антенны и опорным сигналом обеспечивался фазовращателем 7. Фаза опорного сигнала менялась пропорционально азимутальному углу дискретно, на  $120^\circ$ , при переходе от одной угломестной строки к другой, а в пределах каждой строки оставалась постоянной<sup>(2)</sup>. Шаг сканирования по углу места составлял  $30'$ , по азимуту  $10'$ . Дальнейшая обработка голограммы аналогична описанной в<sup>(1)</sup>.

На рис. 2 представлена рельефная диаграмма направленности, полученная в результате оптической обработки (голограмма и фотоизображение центральной части пространственной диаграммы направленности представлены на рис. 3, а, б, см. вкл. к стр. 575). Для сравнения аналогичные рельефные диаграммы измерялись по Солнцу и по упомянутому выше излучателю, расположенному в зоне Френеля антенны, сфокусированной на это расстояние путем выноса облучателя из фокуса. На рис. 4 приведено одно из сечений диаграмм, измеренных двумя способами. Сравнение диаграмм показывает удовлетворительное совпадение в пределах главного лепестка. Видно сглаживание диаграммы направленности в минимумах вследствие конечных угловых размеров Солнца. Обращает на себя внимание отличие значений для

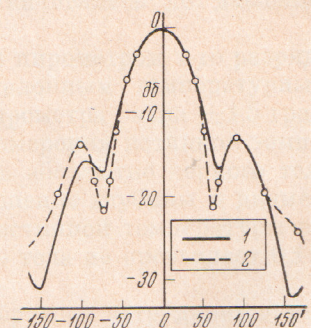


Рис. 4. Азимутальное сечение пространственной диаграммы направленности антенны: 1 — диаграмма, измеренная по Солнцу, 2 — диаграмма, полученная в результате оптической обработки

уровней левых лепестков диаграмм направленности, полученных различными методами. Последнее, по-видимому, связано с неполным исключением влияния фона опорной составляющей голограммы. Можно надеяться, что уменьшение фона и фазовых искажений, вносимых различными элементами оптической системы, позволит существенно повысить точность измерения боковых лепестков.

Проведенные исследования реальной приемной антенны подтверждают достаточную точность и перспективность голографического метода измерения диаграмм направленности больших поворотных антенн по источникам, расположенным в зоне Френеля антенны.

Авторы выражают благодарность И. Е. Гольбергу, Д. Б. Зимину и К. С. Щеглову за любезно предоставленные для проведения эксперимента приборы.

Поступило  
28 VI 1971

#### ЦИТИРОВАННАЯ ЛИТЕРАТУРА

<sup>1</sup> Л. Д. Бахрах, А. П. Курочкин, ДАН, 171, № 6, 1309 (1966). <sup>2</sup> А. П. Курочкин, В. И. Троицкий, Радиотехника и электроника, 14, № 4, 711 (1969).